



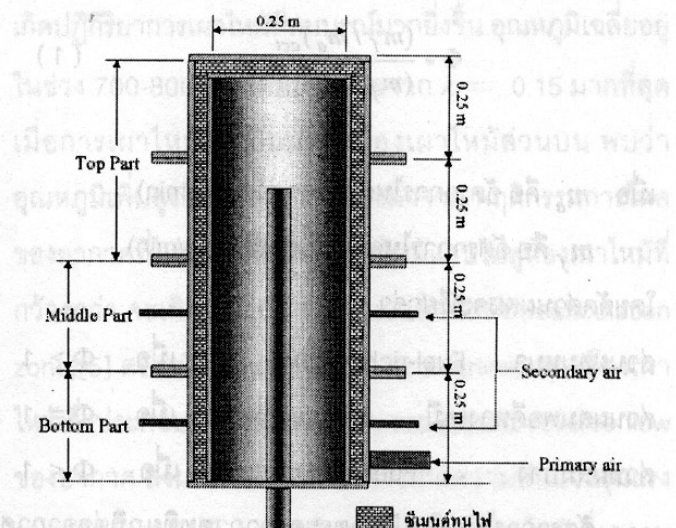
## 1. บทนำ

เข็มเพลิงเชื้อมวล เป็นเข็มเพลิงที่เกิดจากผลพลอยได้ทางการเกษตรกรรมหรือวัสดุเหลือใช้จากโรงงานอุตสาหกรรม เช่น แกลบ ขี้เลือย ชานอ้อย เป็นต้น ซึ่งถือเป็นเข็มเพลิงคุณภาพดี แต่ราคาถูกและสามารถนำมาเป็นเชื้อเพลิงได้เป็นอย่างดี ดังจะเห็นได้จาก การนำแกลบใช้เป็นเชื้อเพลิงเพื่อผลิตไอน้ำใช้ในโรงสีข้าวหรือน้ำความร้อนที่ได้จากการเผาแกลบไปอบเม็ดพีช เนื่องจากแกลบเป็นวัสดุเชื้อมวลคุณภาพดี ถ้าใช้วิธีการเผาในมั่วแกลบในเตาเปิดปกติจะทำให้ได้ปริมาณความร้อนน้อยกว่าที่ควรจะได้และทำให้เกิดมลพิษทางอากาศเนื่องจากเดาที่เกิดจากการเผาในมั่วจะน้ำวิธีเผาในมั่วเพื่อให้มีประสิทธิภาพของการเผาในมั่วที่สุดและสภาพแก๊สที่ออกจากปล่องไฟเป็นมลพิษน้อยที่สุด จึงทำการเผาในมั่วในเตาเผา โดยใช้เทคนิคการหมุนของอากาศความเร็วสูงแบบบีบปูน ที่มีผู้ได้ศึกษาและนำไปใช้เผาในมั่วพากเข็มเพลิงถ่านหิน[2] และวัสดุเชื้อมวลให้ผลดีมากแล้ว [1]

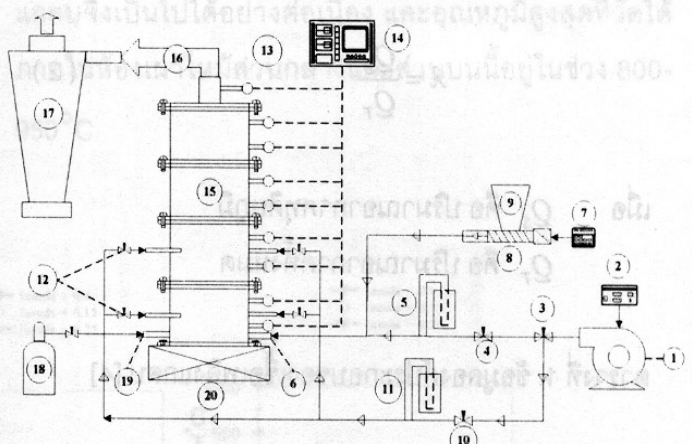
ในบทความนี้ได้ทำการศึกษาอิทธิพลความสูงห้องเผาในมั่วแบบหมุนต่อพฤติกรรมการเผาในมั่วของแกลบภายใต้เผาแบบวอร์เทคโนโลยีพิจารณาถึงการกระจายอุณหภูมิภายในเตาเผาอิฐ แล้ว องค์ประกอบของก้าช้อลีเดียที่เกิดจากการเผาในมั่ว ซึ่งการหมุนอย่างบีบปูนระหว่างอากาศและเข็มเพลิงเกิดจากผลของ Recirculation zone [4] ซึ่งทำให้ได้ความร้อนสูงสุดที่เกิดจากการเผาในมั่วที่เหมาะสม

## 2. อุปกรณ์การทดลอง

การออกแบบเตาเผาที่ใช้ในการทดลองนั้น ความสูงของห้องเผาในมั่วที่ใช้ในการทดลองมี 3 ขนาด คือ 0.75 m (3D), 1.0 m (4D) และ 1.25 m (5D) ตามลำดับ(โดยค่า D มีค่าเท่ากับ 0.25 m.) เพื่อทำการทดสอบหากการกระจายอุณหภูมิสูงสุดภายในเตาเผาอิฐ ซึ่งลักษณะของเตาเผาแบบวอร์เทคโนโลยีลักษณะดังรูปที่ 1



รูปที่ 1 แสดงลักษณะของเตาเผาอิฐที่ความสูง 1.0 m (4D) และแกนกลางภายในห้องเผาในมั่ว



1. Blower
2. Power Supply
3. Bypass Valve
4. Needle Valve
5. Manometer
6. Primary Air Nozzle
7. Inverter
8. Screw Feeder
9. Hopper
10. Needle Valve
11. Manometer
12. Secondary Air Nozzle
13. Thermocouple Type K
14. Digital Thermometer Switch
15. Vortex Combustor
16. Stack
17. Cyclone
18. LPG Supply
19. Burner Nozzle
20. Stand

รูปที่ 2 ผังแสดงชุดอุปกรณ์การทดลอง เตาเผาอิฐ

ค่า Equivalence ratio เป็นค่าที่แสดงถึงปริมาณอากาศต่อเชื้อเพลิงที่ใช้ในการเผาในมั่วจริงต่อทางทฤษฎี เราจะหาค่า Equivalence ratio ได้จากสมการต่อไปนี้ [3]

$$\Phi = \frac{(m_f / m_a)_{act}}{(m_f / m_a)_{sto}} \quad (1)$$

เมื่อ  $m_a$  คือ อัตราการไหลของอากาศ (kg/min)

$m_f$  คือ อัตราการไหลของเชื้อเพลิง (kg/min)

โดยสัดส่วนผสมจะเรียกว่า

ส่วนผสมหนา Fuel-rich mixture เมื่อ  $\Phi > 1$

ส่วนผสมพอดีทางเคมี Stoichiometric เมื่อ  $\Phi = 1$

ส่วนผสมบาง Fuel-lean mixture เมื่อ  $\Phi < 1$

อัตราการไหลเฉลี่ยปริมาตรของอากาศทุกมิตรต่ออากาศทั้งหมดเป็นตัวแปรที่ศึกษา ในเรื่องของการเพิ่มความบันดาลในขณะเกิดการเผาไหม้ระหว่างเชื้อเพลิงกับอากาศ ซึ่งเป็นส่วนการความสัมพันธ์ได้ดังนี้ [6]

$$\lambda = \frac{Q_s}{Q_t} \quad (2)$$

เมื่อ  $Q_s$  คือ ปริมาณอากาศทุกมิตร

$Q_t$  คือ ปริมาณอากาศทั้งหมด

ตารางที่ 1. ข้อมูลองค์ประกอบของเชื้อเพลิงแก๊ส [4]

องค์ประกอบเชื้อเพลิงแก๊ส	เปอร์เซ็นต์โดยมวล
Carbon	38.0
Hydrogen	5.70
Oxygen	41.6
Nitrogen	0.69
Sulfur	0.06
Volatile matter	55.6
Fixed carbon	20.1
Moisture	10.3
Ash	14.0

### 3. การทดลอง

- ติดตั้งเตาเผาใหม้วอร์เทคพร้อมอุปกรณ์การทดลอง (ดูรูปที่ 2) เริ่มทำการอุ่นเตา ก่อนการทดลอง หลังจากนั้นป้อน

แก๊สและอากาศเพื่อทำการเผาใหม่จนอุณหภูมิภายในเริ่มคงที่.

2. เมื่อ  $\lambda = 0.0$  ( $\lambda$  คือ อัตราส่วนการไหลเฉลี่ยปริมาตรของอากาศทุกมิตรต่ออากาศทั้งหมด)

3. ปรับอัตราการไหลของอากาศให้ค่า  $\Phi = 0.8$

4. เริ่มบันทึกอุณหภูมิที่ระดับความสูง  $x = 0.0625 \text{ m}$ ,

$0.1875 \text{ m}, 0.3125 \text{ m}, 0.4375 \text{ m}, 0.5625 \text{ m}$  ที่  $r/R = 0.30$

และ ที่ตำแหน่ง  $x = 0.6875 \text{ m}$  ที่  $r/R = 0.0$

5. บันทึกอุณหภูมิที่เวลานาทีที่ 10 และนาทีที่ 20, บันทึกผลการทดลอง สังเกตควันและเก็บชิ้นถ้าที่ได้จากการเผาใหม่ และวิเคราะห์องค์ประกอบของก๊าซที่เกิดจากการเผาใหม่

6. ทำการทดลองซ้ำข้อ 4 ที่ตำแหน่ง  $x = 0.0625 \text{ m}, 0.1875 \text{ m}, 0.3125 \text{ m}, 0.4375 \text{ m}$  และ  $0.5625 \text{ m}$  วัดอุณหภูมิที่ตำแหน่ง  $r/R = 0.30, 0.65$  และ  $1.0$  ตามลำดับ ส่วนที่ตำแหน่ง  $x = 0.6875 \text{ m}$  วัดอุณหภูมิที่ตำแหน่ง  $r/R = 0.30, 0.65$  และ  $1.0$  ตามลำดับ

7. ทดลองตามข้อที่ 3-6 ปรับ  $\Phi = 1.0, 1.2$  ตามลำดับ บันทึกผล

8. ทดลองตามข้อที่ 2-7 ปรับ  $\lambda = 0.15$  และ  $\lambda = 0.25$  ตามลำดับ บันทึกผลการทดลอง

9. ทำการทดลองตามข้อที่ 1 เพิ่มความสูงของห้องเผาใหม่ จาก  $0.75 \text{ m}$  (3D) เป็น  $1.0 \text{ m}$  (4D) ทำการทดลองซ้ำข้อที่ 2-8 โดยเพิ่มการวัดอุณหภูมิที่ตำแหน่ง  $x = 0.8125 \text{ m}, 0.9375 \text{ m}$  โดยเริ่มวัดอุณหภูมิที่ตำแหน่ง  $r/R = 0.0, 0.30, 0.65$  และ  $1.0$  ตามลำดับ บันทึกผลการทดลอง

10. ทำการทดลองตามข้อที่ 9 เพิ่มความสูงของห้องเผาใหม่จาก  $1.0 \text{ m}$  (4D) เป็น  $1.25 \text{ m}$  (5D) ทำการทดลองซ้ำข้อที่ 4 - 9 โดยเพิ่มการวัดอุณหภูมิที่ตำแหน่ง  $x = 1.0625 \text{ m}, 1.1875 \text{ m}$  โดยเริ่มวัดอุณหภูมิที่ตำแหน่ง  $r/R = 0.0, 0.3, 0.65$  และ  $1.0$  ตามลำดับ บันทึกผลการทดลอง

เมื่อ  $x$  คือ ความสูงของเตาเผาอิเล็กทรอนิกส์

$r/R$  คือ อัตราส่วนระหว่างตำแหน่งที่วัดอุณหภูมิในแนวรัศมี

ต่อรัศมีภัยในเตาเผาอิเล็กทรอนิกส์

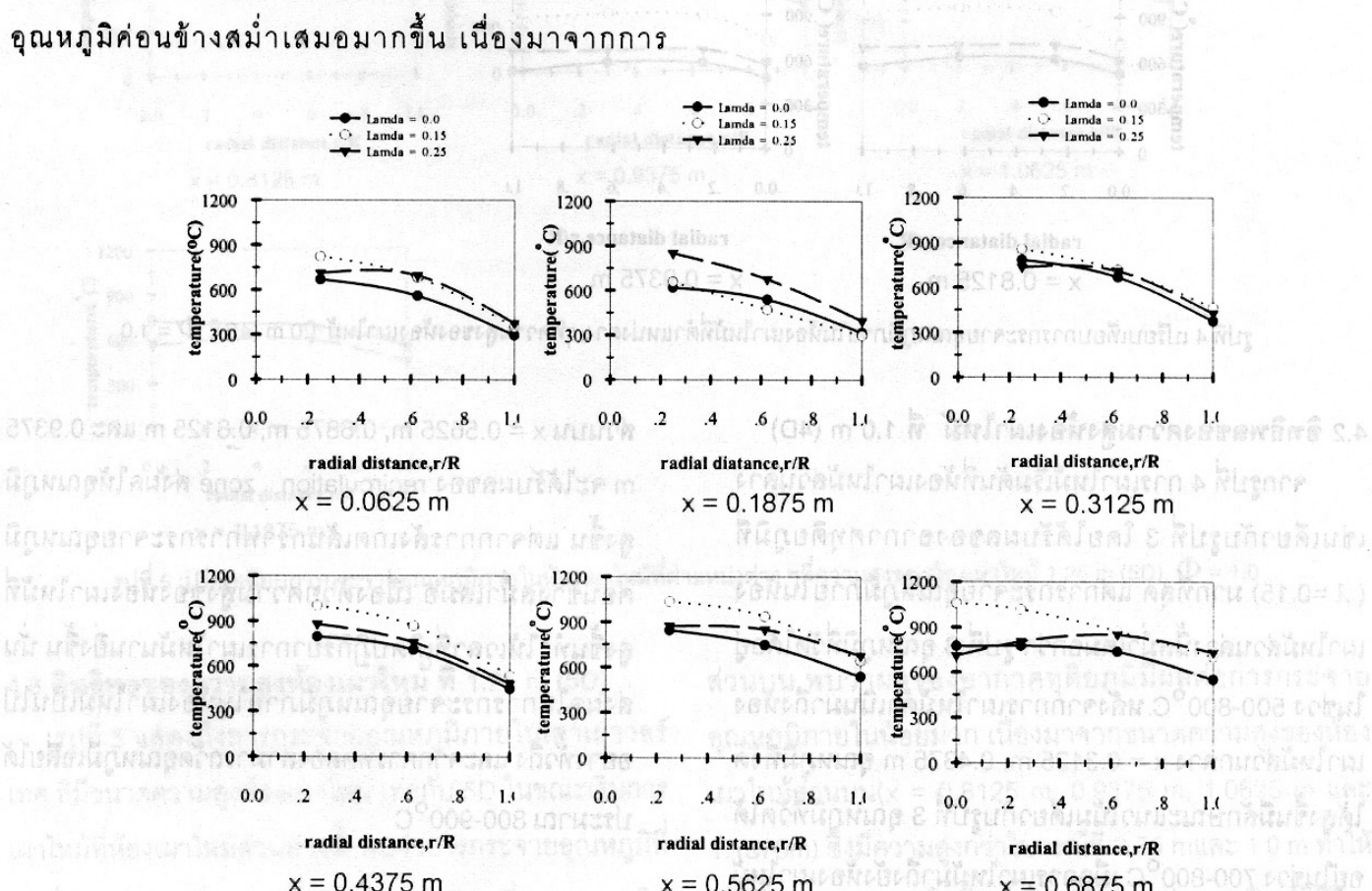
#### 4. ผลการทดลอง

จากการทดลองการเผาใหม่เตาเผาแบบวอร์เทค โดยการวัดตำแหน่งอุณหภูมิภายในห้องเผาใหม่ส่วนล่าง, ส่วนกลาง และส่วนบน ดังรูปที่ 2 เพื่อศึกษาการกระจาย อุณหภูมิที่สม่ำเสมอของสูญญากาศในห้องเผาใหม่ของเตาเผา

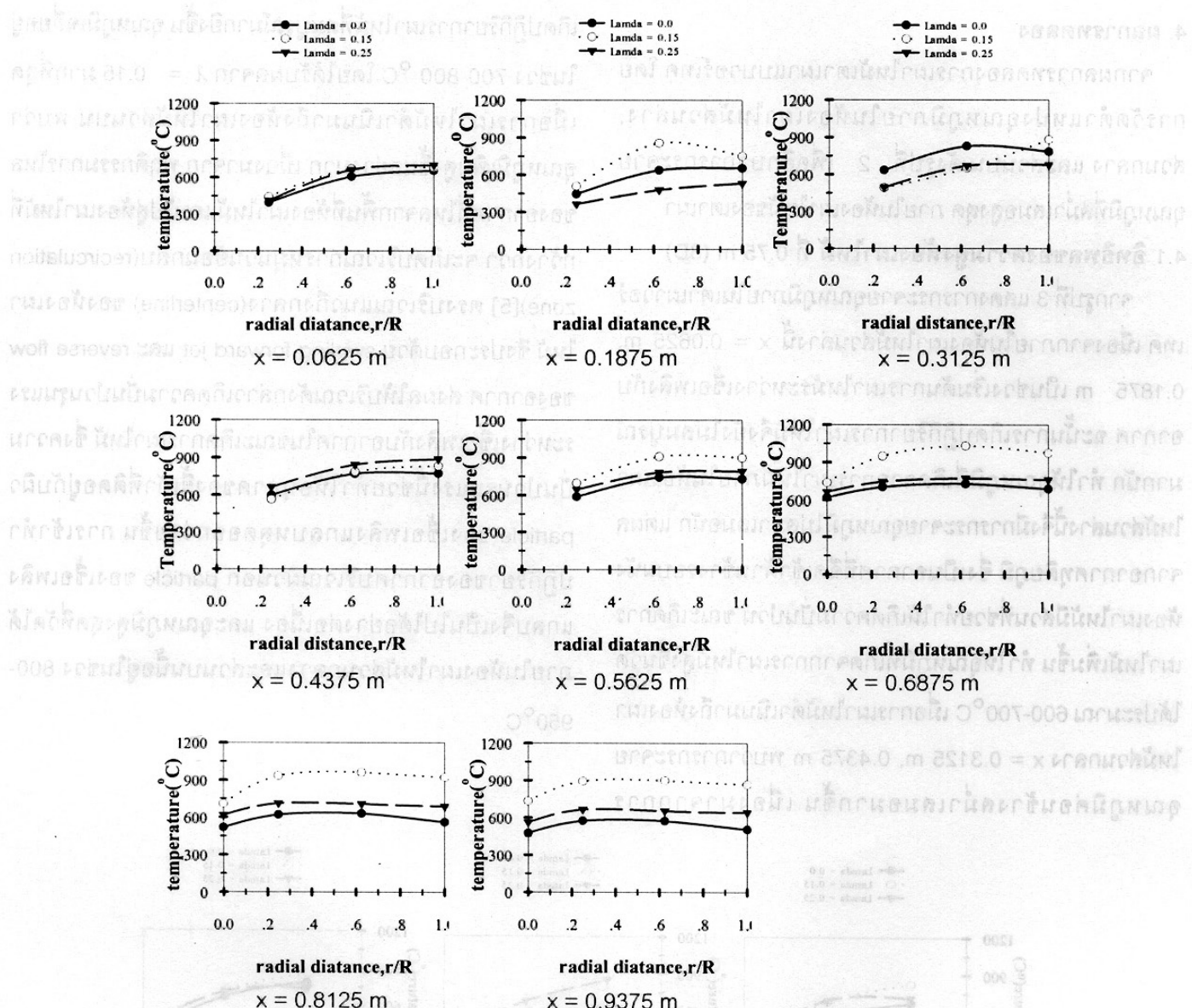
##### 4.1 อิทธิพลของความสูงห้องเผาใหม่ ที่ 0.75 m (3D)

จากรูปที่ 3 แสดงการกระจายอุณหภูมิภายในเตาเผาวอร์เทค เมื่อจากภายในห้องเผาใหม่ส่วนล่างนี้  $x = 0.0625 \text{ m}$ ,  $0.1875 \text{ m}$  เป็นช่วงเริ่มต้นการเผาใหม่ระหว่างเชื้อเพลิงกับอากาศ จะนั้นการเกิดปฏิกิริยาการเผาใหม่จึงยังไม่สมบูรณ์มากนัก ทำให้อุณหภูมิที่เกิดจากการเผาใหม่มีภาวะในห้องเผาใหม่ส่วนล่างนี้จึงมีการกระจายอุณหภูมิไม่สม่ำเสมอนัก แต่ผลจากการศึกษาภูมิภาค ซึ่งเป็นอากาศที่ถูกดึงเข้าด้านข้างรอบผนัง ห้องเผาใหม่มีส่วนที่ช่วยทำให้เกิดความบันปวน ขณะเกิดการเผาใหม่เพิ่มขึ้น ทำให้อุณหภูมิที่เกิดจากการเผาใหม่สูงขึ้นกว่า ได้ประมาณ  $600-700^\circ\text{C}$  เมื่อการเผาใหม่ดำเนินมาถึงห้องเผาใหม่ส่วนกลาง  $x = 0.3125 \text{ m}$ ,  $0.4375 \text{ m}$  พบร่วมกับการกระจาย อุณหภูมิค่อนข้างสม่ำเสมอมากขึ้น เนื่องมาจาก การ

เกิดปฏิกิริยาการเผาใหม่ที่สมบูรณ์มากยิ่งขึ้น อุณหภูมิเฉลี่ยอยู่ ในช่วง  $700-800^\circ\text{C}$  โดยได้รับผลจาก  $\lambda = 0.15$  มาที่สุด เมื่อการเผาใหม่ดำเนินมาถึงห้องเผาใหม่ส่วนบน พบร่วม อุณหภูมิเพิ่มสูงขึ้นอย่างมาก เนื่องมาจาก พฤติกรรมการไหล ของอากาศที่ไม่ออกจากพื้นที่ห้องเผาใหม่แคบไปสู่ห้องเผาใหม่ที่ กว้างกว่า จะเกิดบริเวณการหมุนวนย้อนกลับ(recirculation zone)[5] ตรงบริเวณแนวแกนกลาง(centerline) ของห้องเผาใหม่ ซึ่งประกอบด้วย swirling forward jet และ reverse flow ของอากาศ สร้างให้บริเวณดังกล่าวเกิดความบันปวนรุนแรง ระหว่างเชื้อเพลิงกับอากาศในขณะเกิดการเผาใหม่ ซึ่งความบันปวนรุนแรงนี้ช่วยทำให้อุณภูมิของเชื้อเพลิงติดอยู่กับผิว particle ของเชื้อเพลิงและกลบหลอกง่ายขึ้น การเข้าทำปฏิกิริยาของอากาศบริเวณผิวนอก particle ของเชื้อเพลิง และกลบจึงเป็นไปได้อย่างต่อเนื่อง และอุณหภูมิสูงสุดที่วัดได้ภายในห้องเผาใหม่ส่วนกลางและส่วนบนนี้อยู่ในช่วง  $800-950^\circ\text{C}$



รูปที่ 3 เปรียบเทียบการกระจายอุณหภูมิภายในห้องเผาใหม่ที่ตำแหน่งต่าง ๆ ที่ความสูงของห้องเผาใหม่ 0.75 m (3D),  $\Phi = 1.0$

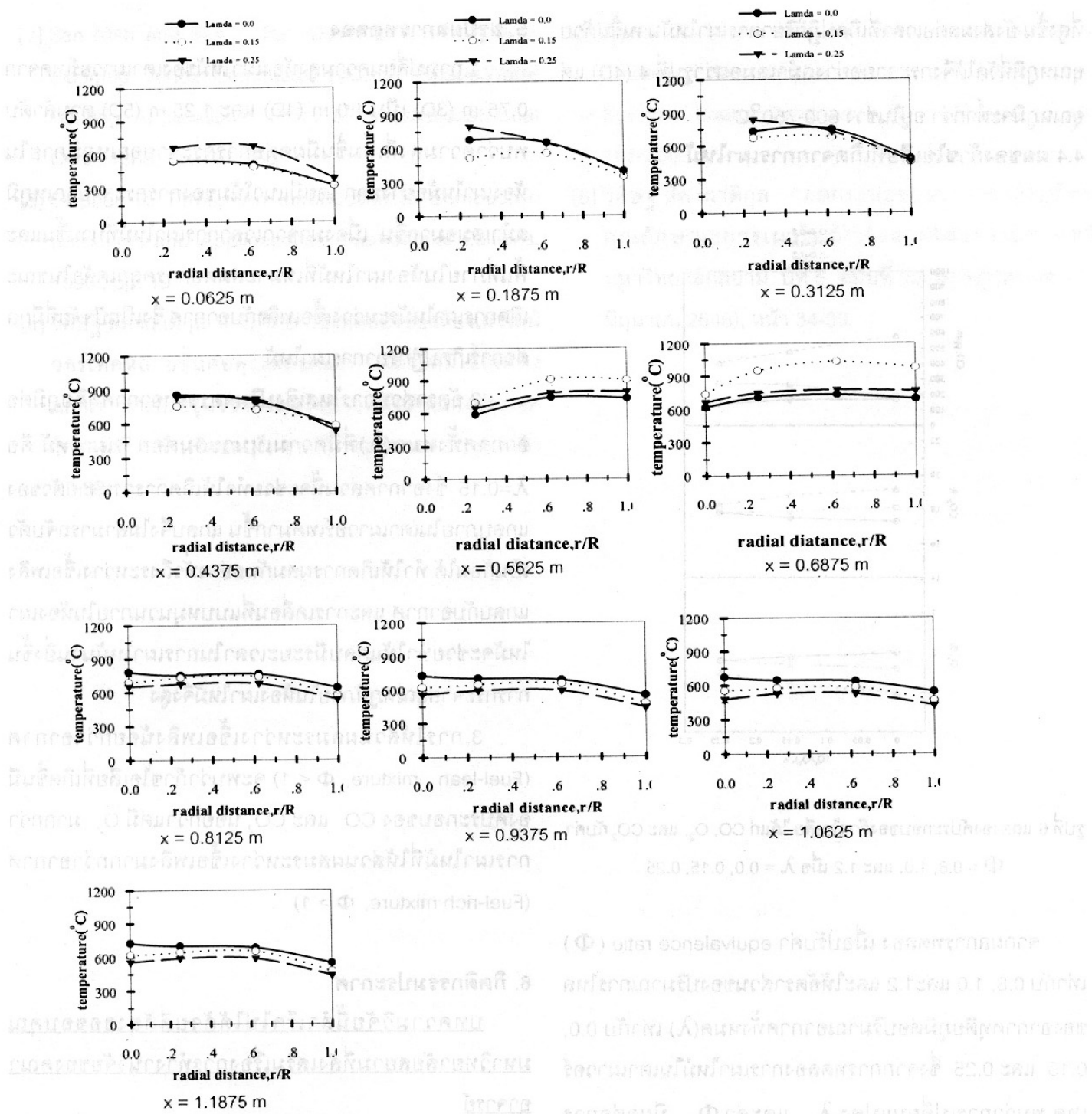


รูปที่ 4 เปรียบเทียบการกระจายอุณหภูมิภายในห้องเผาในม้วนที่ตำแหน่งต่างๆ ที่ความสูงของห้องเผาใหม่ 1.0 m (4D),  $\Phi = 1.0$

#### 4.2 อิทธิพลของความสูงห้องเผาใหม่ ที่ 1.0 m (4D)

จากรูปที่ 4 การเผาใหม่มีเริ่มต้นที่ห้องเผาใหม่ส่วนล่าง เช่นเดียวกับรูปที่ 3 โดยได้รับผลของการศูนย์ติดภูมิที่ ( $\lambda = 0.15$ ) มากที่สุด แต่การกระจายอุณหภูมิภายในห้องเผาใหม่ส่วนล่างนั้นส่วนมากกว่า รูปที่ 3 อุณหภูมิที่วัดได้อยู่ในช่วง 500-800°C หลังจากการเผาใหม่ดำเนินมาถึงห้องเผาใหม่ส่วนกลาง  $x = 0.3125$  m,  $0.4375$  m อุณหภูมิที่วัดได้ได้สูงขึ้นเมล็ดขนาดแนวโน้มเดียวกับรูปที่ 3 อุณหภูมิที่วัดได้อยู่ในช่วง 700-800°C เมื่อการเผาใหม่มากถึงยังห้องเผาใหม่

ส่วนบน  $x = 0.5625$  m,  $0.6875$  m,  $0.8125$  m และ  $0.9375$  m จะได้รับผลของ recirculation zone สงผลให้อุณหภูมิสูงขึ้น แต่จากการสังเกตเห็นกราฟการกระจายอุณหภูมิค่อนข้างสม่ำเสมอ เนื่องด้วยความสูงของห้องเผาใหม่ที่สูงขึ้นทำให้เวลาที่เกิดปฏิกิริยาการเผาใหม่นานยิ่งขึ้น นั้นสงผลให้การกระจายอุณหภูมิภายในห้องเผาใหม่เป็นไปอย่างท่อถึง และจากการทดลองสามารถวัดอุณหภูมิเฉลี่ยได้ประมาณ 800-900°C



รูปที่ 5 เปรียบเทียบการกระจายอุณหภูมิภายในห้องเผาใหม่ที่ต่ำແ耂งต่างๆ ที่ความสูงของห้องเผาใหม่ 1.25 m (5D),  $\Phi = 1.0$

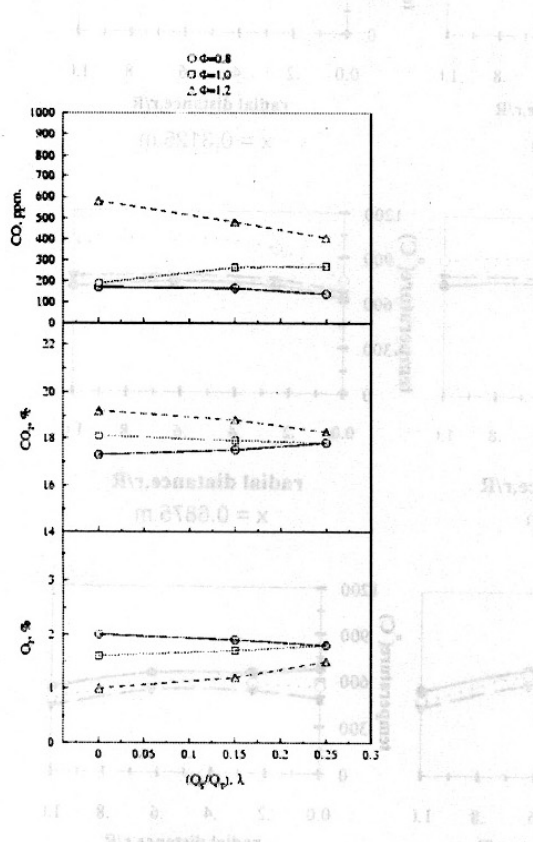
#### 4.3 อิทธิพลของความสูงห้องเผาใหม่ ที่ 1.25 m (5D)

รูปที่ 5 แสดงถึงการกระจายอุณหภูมิภายในเตาเผาของ เทค ที่มีขนาดความสูงห้องเผาใหม่ เท่ากับ 5D ในขณะเริ่มการเผาใหม่ที่ห้องเผาใหม่ส่วนล่างนี้ พบร่วงการกระจายอุณหภูมิที่เกิดขึ้นข้างสม่ำเสมอซึ่งมีช่วงอุณหภูมิอยู่ที่  $500-650^{\circ}\text{C}$  จากผลการทดลอง ที่ห้องเผาใหม่ส่วนล่าง ส่วนกลาง และ

ส่วนบน พบร่วงของอากาศทุติยภูมิมีผลต่อการกระจายอุณหภูมิภายในน้อยมาก เนื่องมาจากขนาดความสูงของห้องเผาใหม่ส่วนบน ( $x = 0.8125 \text{ m}, 0.9375 \text{ m}, 1.0625 \text{ m} \text{ และ } 1.1875 \text{ m}$ ) ซึ่งมีความสูงกว่าในกรณีที่  $0.75 \text{ m}$  และ  $1.0 \text{ m}$  ทำให้ปริมาตรอากาศภายในมีอยู่อย่างเพียงพอต่อการเกิดปฏิกิริยาการเผาใหม่ของเชื้อเพลิงและความสูงของห้องเผาใหม่ส่วนบน

ที่สูงขึ้น ยังส่งผลต่อเวลาที่เกิดปฏิกิริยาการเผาไหม้มีนานขึ้นด้วย อุณหภูมิที่วัดได้จะกระจายอย่างสม่ำเสมอกว่ารูปที่ 4 (4D) และ อุณหภูมิจะต่ำกว่า อุปในช่วง  $600-750^{\circ}\text{C}$

#### 4.4 ผลของก๊าซไออกซิเจนที่เกิดจากการเผาไหม้



รูปที่ 6 แสดงองค์ประกอบของก๊าซไออกซิเจน ได้แก่  $\text{CO}$ ,  $\text{O}_2$ , และ  $\text{CO}_2$  กับค่า  $\Phi = 0.8, 1.0$ , และ  $1.2$  เมื่อ  $\lambda = 0.0, 0.15, 0.25$

จากผลการทดลอง เมื่อปรับค่า equivalence ratio ( $\Phi$ ) เท่ากับ 0.8, 1.0 และ 1.2 และให้อัตราส่วนของปริมาณการไอลของอากาศทุติยภูมิต่อปริมาณอากาศทั้งหมด ( $\lambda$ ) เท่ากับ 0.0, 0.15 และ 0.25 ซึ่งจากการทดลองการเผาไหม้ในเตาเผาอิฐ เทค พบว่าการเปลี่ยนแปลง  $\lambda$  และค่า  $\Phi$  มีผลต่อการเปลี่ยนแปลงปริมาณ ก๊าซคาร์บอนมอนอกไซด์, ก๊าซออกซิเจน และ ก๊าซคาร์บอนไดออกไซด์ โดยการทดลองการเผาไหม้ในเตาเผาอิฐที่ความสูงเท่ากับ  $1.0 \text{ m}$ (4D) สามารถวัดค่าก๊าซคาร์บอนมอนอกไซด์ต่ำสุดได้เท่ากับ  $250 \text{ ppm}$ , ก๊าซออกซิเจนเท่ากับ  $1.9\%$  และ ก๊าซคาร์บอนไดออกไซด์เท่ากับ  $17.5\%$  (รูปที่ 6)

#### 5. สรุปผลการทดลอง

1. การเปลี่ยนความสูงห้องเผาใหม่ของเตาเผาอิฐจาก  $0.75 \text{ m}$  (3D) เป็น  $1.0 \text{ m}$  (4D) และ  $1.25 \text{ m}$  (5D) ตามลำดับ พบว่าความสูงที่เพิ่มขึ้นมีผลต่อการกระจายอุณหภูมิภายในห้องเผาใหม่มาก โดยมีแนวโน้มของการกระจายอุณหภูมิ สม่ำเสมอมากขึ้น เนื่องมาจากเวลาการเผาไหม้ที่นานขึ้นและพื้นที่ภายในห้องเผาใหม่ที่เหมาะสมต่อการคลุกเคล้าในขณะเกิดการเผาไหม้ระหว่างเชื้อเพลิงกับอากาศ ซึ่งเป็นปัจจัยที่มีผลต่อการเกิดปฏิกิริยาการเผาไหม้

2. อัตราส่วนการไอลเชิงปริมาณของอากาศทุติยภูมิต่ออากาศทั้งหมด ( $\lambda$ ) ที่มีความเหมาะสมต่อการเผาไหม้ คือ  $\lambda = 0.15$  ซึ่งอากาศส่วนนี้จะช่วยทำให้เกิดการกระจายตัวของแก๊สภายในเตาเผาอิฐมากขึ้น แก๊สจึงไม่สามารถจับตัวเป็นก้อนได้ ทำให้เกิดการผสมกันอย่างทั่วถึงระหว่างเชื้อเพลิง แก๊สกับอากาศ และการเคลื่อนที่แบบหมุนวนภายในห้องเผาไหม้จะช่วยทำให้แก๊สมีระยะเวลาในการเผาไหม้ยิ่งขึ้น กระบวนการอุณหภูมิภายในห้องเผาไหม้จึงสูง

3. การให้ส่วนผสมระหว่างเชื้อเพลิงน้อยกว่าอากาศ (Fuel-lean mixture,  $\Phi < 1$ ) จะพบว่าก๊าซไออกซิเจนที่เกิดขึ้นมีองค์ประกอบของ  $\text{CO}$  และ  $\text{CO}_2$  น้อยกว่าแต่มี  $\text{O}_2$  มากกว่า การเผาไหม้ที่ให้ส่วนผสมระหว่างเชื้อเพลิงมากกว่าอากาศ (Fuel-rich mixture,  $\Phi > 1$ )

#### 6. กิตติกรรมประกาศ

บทความวิจัยนี้สำเร็จไปได้ด้วยดีต้องขอขอบคุณมหาวิทยาลัยสยามที่ส่งเสริมเรื่องการทำงานวิจัยของคณาอาจารย์

#### 7. เอกสารอ้างอิง

- [1] Pongjet promvonge, "A Low Emission Annular vortex Combustor Firing Rice Husk Fuel: Part II – Experiment Investigation" The First Regional Conference on Energy Technology Towards a Clean Environment, 1<sup>st</sup>-2<sup>nd</sup> December 2000 The Empress Hotel, Chang Mai, Thailand.

- [2] Sen Nieh and Tim T. Fu, "Development of a Non-Slagging Vortex Combustor (VC) for Space/Water Heating Applications" Proc. 5<sup>th</sup> International Coal Conf., 1988, pp. 761-768.
- [3] Stephen R. Turns, "An Introduction to Combustion (Concepts and Applications), International Editions, 1996 , pp. 19.
- [4] วิศิษฐ์ ลีลาพาติกุล “การศึกษาเชิงทดลองของห้องเผาไนม่าวอร์เทกนลัยขั้นต่อกุณลักษณะการเผาไนม้ำเชื้อเพลิงแก๊ส” การประชุมวิชาการเครือข่ายพลังงานแห่งประเทศไทยครั้งที่ 1 จังหวัดชลบุรี, 11-13 พฤษภาคม 2548. หน้า 77-82
- [5] David G. Sloan, Philip J. Smith and L. Douglas Smooth " Modeling of Swirl in Turbulent Flow Systems" Energy Combustion Sci, 1986, Vol. 12, pp. 163-250.
- [6] วิศิษฐ์ ลีลาพาติกุล “ผลกระทบของอากาศทุบติดต่อคุณลักษณะการเผาไนม้ำ”วารสารวิศวกรรมศาสตร์มหาวิทยาลัยสยาม ปีที่ 5 ฉบับที่ 10 (กรกฎาคม 2547 - มิถุนายน 2548), หน้า 34-39.